

تأثیر ۸ ماه تمرین مقاومتی بر سطوح GH، IGF1 (Insulin-like growth factor binding protein 3) و IGFBP3 پلاسمای دو بیمار مبتلا به سوختگی شدید

نسیم بهزادنژاد^۱، سید محمد مرندی^۲، دکتر فهیمه اسفرجانی^۳، دکتر احمد عابدی^۴، فرشته بردیا^۱

مقاله پژوهشی

چکیده

مقدمه: افراد مبتلا به جراحت‌های حرارتی، افزایش کاتابولیسم پروتئین، تأخیر بهبود زخم، پاسخ اینمی ضعیف و شیوع عفونت دارند. هدف از پژوهش حاضر بررسی اثر ۸ ماه تمرین مقاومتی بر سطوح GH، IGF1 (Insulin-like growth factor binding protein 3) و IGFBP3 (Growth hormone) پلاسمای افراد مبتلا به سوختگی شدید بود.

روش‌ها: روش پژوهشی از نوع مورد منفرد با طرح خط پایه‌ی چندگانه‌ی شرکت کنندگان بود. آزمودنی‌های این پژوهش دو زن با سوختگی شدید (درجه ۳) در دامنه‌ی سنی ۳۰-۴۰ سال در بیمارستان سوانح سوختگی شهر بودند، که پس از تعیین موقعیت خط پایه، به صورت پلکانی وارد طرح پژوهشی شدند. بیماران طی ۸ ماه مداخله‌ی انفرادی، تمرین‌های مقاومتی انجام دادند و یک ماه پس از پایان مداخله، به مدت ۲ ماه پی در بی تحت آزمون پیگیری قرار گرفتند. ابزار سنجش پژوهش حاضر نمونه‌گیری خونی، به منظور اندازه‌گیری GH، IGF1 و IGFBP3 بود. نمونه‌های خونی به صورت ناشتا و ۲۴ ساعت پس از تمرین‌ها در پایان هر ماه گرفته شد.

یافته‌ها: بر اساس شاخص‌های آمار توصیفی و تحلیل دیداری، تمرین‌های مقاومتی در هر دو آزمودنی موجب تغییر در سطوح GH، IGF1 و IGFBP3 شد. PND (Percentage of non-overlapping data) در GH ۷۵ درصد برای آزمودنی اول و ۸۷/۵ درصد برای آزمودنی دوم و PND در IGF1 و IGFBP3 ۱۰۰ درصد برای هر دو آزمودنی به دست آمد.

نتیجه‌گیری: به نظر می‌رسد تمرین مقاومتی طولانی مدت بتواند باعث افزایش عوامل رشدی در افراد مبتلا به سوختگی شدید شود و یک محرك قوی برای سنتز پروتئین در این افراد باشد، یا از اثرات کاتابولیکی به وجود آمده پس از سوختگی و یا روند معکوس و کاهش بیش از حد این عوامل رشدی، پس از سوختگی جلوگیری کند و در نتیجه، باعث تسريع در بهبود جراحت‌ها شود.

وازگان کلیدی: سوختگی، IGF1 (Insulin-like growth factor), GH (Growth hormone)، IGFBP3 (Insulin-like growth factor binding protein 3)، تمرین مقاومتی، پژوهش مورد منفرد

ارجاع: بهزادنژاد نسیم، مرندی سید محمد، اسفرجانی فهیمه، عابدی احمد، بردیا فرشته. تأثیر ۸ ماه تمرین مقاومتی بر سطوح GH، IGF1 (Insulin-like growth factor 3) و IGFBP3 (Growth hormone) پلاسمای دو بیمار مبتلا به سوختگی شدید. مجله دانشکده پزشکی اصفهان ۱۳۹۳؛ ۳۲: ۲۷۹.

۳۸۸-۴۰۷

- ۱- کارشناس ارشد، گروه فیزیولوژی ورزش، دانشکده‌ی تربیت بدنسی و علوم ورزشی، دانشگاه اصفهان، ایران
 - ۲- دانشیار، گروه فیزیولوژی ورزش، دانشکده‌ی تربیت بدنسی و علوم ورزشی، دانشگاه اصفهان، ایران
 - ۳- استادیار، گروه فیزیولوژی ورزش، دانشکده‌ی تربیت بدنسی و علوم تربیتی، دانشگاه اصفهان، ایران
 - ۴- استادیار، گروه روان‌شناسی کودکان با نیازهای خاص، دانشکده‌ی علوم تربیتی و روان‌شناسی، دانشگاه اصفهان، اصفهان، ایران
- نویسنده‌ی مسؤول: نسیم بهزادنژاد
Email: nasrin_behzadnezhad@yahoo.com

مقدمه

یکی از حوادثی که جامعه‌ی بشری را تهدید می‌کند وارد می‌تواند خدمات جبران ناپذیری به زندگی بشر وارد کند، آتش‌سوزی و به دنبال آن سوختگی افراد می‌باشد. حادثه‌های شدید و مهلهک مثل سوختگی برقی، شیمیایی، رادیو اکتیو و حرارتی یکی از ویران‌کننده‌ترین حادثه‌هایی است که خیلی سخت می‌شود از آن‌ها جان سالم به در بردن و این به دلیل دردهای غیر قابل تحملی است که در مراحل اولیه بعد از حادثه برای فرد پیش می‌آید (۱).

سوختگی شدید با هایپرمتابولیسم و کاتابولیسم عضلانی (۲-۴)، همچنین از دست رفتن عضلات و کاهش ذخایر پروتئین عضلات همراه است (۴-۵). پاسخ هایپرمتابولیک ۵ روز پس از سوختگی شروع می‌شود و بیشتر از ۲۴ ماه ادامه می‌یابد (۳) و باعث از دست رفتن بافت بدون چربی و تراکم استخوانی و تأخیر در بهبود زخم می‌شود (۶).

کاهش شدید وزن بدن اغلب پس از سوختگی شدید اتفاق می‌افتد که ناشی از افزایش سوخت و ساز بدن و ناکافی بودن جذب کالری برای افراد حادثه دیده است. مصرف انرژی در سه هفته‌ی اول بعد از سوختگی شدید نسبت به موقع معمولی دو برابر است و در ۵ تا ۶ هفته‌ی اول توازن نیتروژن، منفی خواهد شد (۷). کاتابولیسم توده‌ی بدون چربی بدن برای ۹ ماه بعد از سوختگی شدید مشاهده شده است و این کاهش توده‌ی بدون چربی با افزایش مصرف غذا هم ادامه می‌یابد (۸). این حالت به وسیله‌ی یک دوره‌ی بی‌فعالیتی که به دنبال سوختگی به وجود می‌آید، شدیدتر می‌شود (۹). همچنین آسیب سوختگی بیشتر با متابولیسم غیر طبیعی چربی‌ها

همراه است و شامل کاهش حساسیت گیرنده‌های لیپولیتیک به کاتکولامین‌ها و کاهش در اندازه‌ی بافت چربی می‌باشد (۱۰).

بسیاری از تحقیقات اخیر که روزانه هورمون رشد (GH) را اندازه‌گیری کردند، کاهش معنی‌داری در GH (Growth hormone) یک ماه پس از سوختگی نشان داده‌اند و در طول ۴ هفته پس از سوختگی، بیماران سطح بالایی از استرس را نشان می‌دهند که ممکن است با کاهش مشاهده شده در سطوح GH مرتبط باشد (۱۱). اگر چه این کاهش بلافاصله پس از سوختگی مشاهده شد، اما ۸-۱۰ روز پس از شروع به کاهش کرده و کاهش یکنواختی را نشان داده است (۳). اختلال در رشد بدن نیز به ویژه در کودکان با سوختگی بیشتر از ۴۰ درصد نشان داده شده است (۱۱-۱۲)، که حداقل ۹ ماه با کاتابولیسم عضلانی و حداقل ۲ سال تأخیر در رشد پس از سوختگی همراه است (۷).

بعضی از مطالعات تأخیر بیشتر از ۳ سال در رشد کودکان را پس از سوختگی گزارش داده‌اند (۱۲). دلایل تأخیر در رشد به طور کامل مشخص نیست؛ اما گزارش شده است که سطوح GH پلاسما در بزرگسالان پس از سوختگی کاهش می‌یابد (۱۳). همچنان‌ین کاهش غلظت IGF1 (Insulin like growth factor1) و IGFBP3 (Insulin like growth factor binding protein3) (Insulin like growth factor binding protein3) پلاسما نیز بلافاصله پس از سوختگی شروع می‌شود و به طور معنی‌داری به کاهش خود ادامه می‌دهد (۳، ۱۴).

هورمون‌ها یک نقش مرکزی در کنترل بازگشت پروتئین ایفا می‌کنند. سنتز پروتئین به وسیله‌ی

MGF عملکرد اتوکرین/پاراکرین داشته باشد (۱۹). نقش مستقیمی در هموستاز گلوبول بدن به وسیلهٔ تحریک برداشت گلوبول توسط عضلهٔ اسکلتی بازی می‌کند (۲۰). بر خلاف GH، سطوح IGF1 سرم در انسان‌های سالم، ثابت است و تغییرات فردی کمی را نشان می‌دهد. اگر چه سطوح بالاتر یا پایین‌تر از حد طبیعی IGF1 سرم، مطابق با سن نشانه‌ی خوبی برای عدم عملکرد GH است؛ اما با توجه به این که عوامل دیگری مانند وعده‌ی غذایی و مشکلات کبدی بر سطوح IGF1 سرم مؤثر است، باید با دقت بیشتری بررسی گردد (۱۶).

۶ نوع IGF متصل به پروتئین وجود دارد. ابتدا از سرم جدا می‌شوند و پروتئین‌هایی حدود ۳۰ KDa هستند که می‌توانند به IGF1 و IGF2 متصل شوند. بیشتر IGF1 سرم به صورت کمپلکس ۳ قسمتی IGFBP3 یا زیر واحد اسید لایل IGF1 یافت می‌شود، که در سرم نیمه‌ی عمر و رهایی IGF1 را به بافت افزایش می‌دهد و در بافت‌ها نیز، فعالیت IGF1 را تعديل می‌کند، چون IGFBP3 میل بیشتری به IGFs در مقایسه با گیرنده‌ها دارد (۱۶).

از آن جایی که GH به عنوان یک عامل آنابولیکی قوی و تعديل‌کنندهٔ سلامت، از پاسخ‌های متابولیکی پس از آسیب جلوگیری می‌کند (۱۷)، تجویز دوزی از GH در فاز حاد پس از سوختگی (۲) می‌تواند منجر به کاهش کاتابولیسم، حفظ تراکم سلولی بدن، بهبود سنتز پروتئین، افزایش سرعت بهبود زخم و کاهش تأخیر در رشد شود (۱۲، ۴-۵). کاهش معنی‌داری در زمان بهبود زخم در بیماران سوخته با استفاده از ۰/۲ mg/kg/day هورمون رشد در روز مشاهده شده است (۲۱).

هورمون‌های آنابولیک مانند تستوسترون، GH انسولین و IGF1 تنظیم می‌شود؛ در حالی که تجزیهٔ پروتئین به وسیلهٔ هورمون‌های کاتابولیک به ویژه کورتیزول انجام می‌شود (۱۵). GH یک هورمون پیتیدی است که به وسیلهٔ سلول‌های سوماتوتروف هیپوفیز قدامی تولید و توسط هورمون‌های هیپوتالاموسی تنظیم می‌شود. ترشح GH یک الگوی متناوب دارد و محرك‌های گوناگون بر مقدار و تکرار ترشح آن مؤثر است، GH بر متابولیسم پروتئین، کربوهیدرات و چربی اثر می‌گذارد، همچنین گیرنده‌های این هورمون در همهٔ سلول‌ها وجود دارد و اثر مستقیم بر بسیاری از بافت‌ها مانند عضلات اسکلتی دارد. ترشح GH به وسیلهٔ یک سیستم بازخورد منفی تنظیم می‌شود؛ به طوری که افزایش IGF1 سرم موجب توقف ترشح GH می‌شود (۱۶). هورمون رشد تنظیم کنندهٔ اصلی سنتز IGF1 کبدی و IGFBP3 است و کبد اندام اصلی مسؤول در تولید IGF1 سرم می‌باشد (۱۶).

بسیاری از اثرات متابولیکی GH به وسیلهٔ هورمون پیتیدی IGF1 واسطه‌گری می‌شود (۱۷). IGF1 هورمون پلی پیتیدی کوچک با ساختاری شبیه انسولین است و سطوح آن با عوامل فیزیولوژیک مانند خواب، هورمون‌ها، ورزش و عوامل پاتولوژیک مانند بیماری، استرس و غیره تعديل می‌شود (۱۸). دو ایزوفرم از IGF وجود دارد که یکی به وسیلهٔ کبد تولید می‌شود و عملکرد اندوکرین دارد و در هر دو حالت استراحت و کار عضلانی بیان می‌شود. نوع دیگر، MGF (Mechano growth factor) است که نیمه‌ی عمر کوتاه‌تری دارد و بیشتر در عضلات و در زمان کار عضلانی بیان می‌شود. احتمال می‌رود که

وجود دارد. تمرین مقاومتی نسبت به تحریک الکتریکی عضله در بازگشت ذخایر عضلانی و تراکم آن مؤثرter است. انواع تمرین مقاومتی به عنوان یک روش مؤثر منجر به هایپرتروفی عضلاتی می‌شود و قدرت عضلانی و عملکرد اجرایی در افراد بزرگسال را افزایش می‌دهد (۱۹).

IGFs سنتر پروتئین طی تمرین مقاومتی را افزایش می‌دهد و باعث افزایش هایپرتروفی می‌شود (۲۴). در سطوح استراحتی IGF1 مردانی که تمرین مقاومتی انجام دادند نسبت به گروه فاقد تمرین، افزایش مشاهده شد. همچنین افزایش در سطوح استراحتی IGF1 به خصوص در تمرین‌های دارای حجم بالا در زنان مشاهده شده است (۲۴). اگر چه افزایش IGFBP^۳ یک ساعت پس از تمرین مقاومتی گزارش شده است، با این حال در مطالعه‌ی دیگر کاهش معنی‌داری در IGFBP^۳ در هفته‌های ۲۵-۱۳ دارد برنامه‌ی تمرین مقاومتی دیده شده است (۲۴).

در مطالعه‌ای پس از ۸ هفته تمرین در مردان جوان غیر ورزشکار، تغییر معنی‌داری در سطوح IGF1 و IGFBP^۳ مشاهده نشد (۲۶)، در حالی که در پژوهش دیگر کاهش معنی‌داری در سطوح IGF1 و IGFBP^۳ در برنامه‌ی ۲ ماهه در کودکان چاق مشاهده شد (۲۷). همچنین افزایش معنی‌داری در GH پس از تمرین مقاومتی مشاهده شد، اما در سطوح IGF1 پس از تمرین این گونه نبود. هر چند ۱ ساعت پس از تمرین افزایش یافت که متأثر از استراحت بین سرتها بوده است (۲۸). کاهش غیر معنی‌داری نیز با یک جلسه تمرین در سطوح IGF1 مشاهده شد که این پاسخ پس از ۶ هفته بدون تغییر بود (۲۹). سطوح GH و IGF1 در دانشجویان غیر ورزشکار پس از

BAU IGF1 آنابولیک در بزرگسالان می‌شود (۱۸) و به عنوان محرك سنتر پروتئین و مانع تجزیه‌ی آن در عضله‌ی اسکلتی پس از سوختگی شناخته شده است. همچنین تزریق IGF1 همراه با GH یا IGFBP^۳ برای کاهش کاتابولیسم عضلانی بدون هیچ اثر جانبی مناسب بوده است. مطالعات متعددی نقش IGF1 را در محدود کردن متابولیسم تأیید کرده است. همچنین با تزریق IGF1 از واکنش‌های کاتابولیک در موش‌های سوخته جلوگیری شده است (۲۲-۲۳).

شواهد متعددی در مورد اثر IGF1 در سازگاری‌های هایپرتروفی عضلانی در تمرین‌های مقاومتی به ویژه در بهبود عضلات حیوانات وجود دارد (۲).

ورزش یک عامل مهم و مؤثر بر کاهش کاتابولیسم عضله پس از سوختگی شدید می‌باشد (۱۱) و به عنوان یک محرك قوی برای آزادسازی هورمون رشد، پرولاکتین و کورتیزول شناخته شده است (۱۲). به ویژه تمرین مقاومتی، که مقادیر GH را افزایش می‌دهد (۲۴). مقدار پاسخ به ورزش بسته به نوع، شدت، مدت، فراخوانی عضله، زمان استراحت، جنس، سن، ترکیب بدن و وضعیت سلامتی و تمرینی افراد متفاوت است (۲۴-۲۵). غلظت GH ۳۰ دقیقه پس از تمرین مقاومتی در مردان و زنان افزایش مشابهی را نشان می‌دهد. اگر چه سطوح استراحتی GH در زنان به طور معنی‌داری بالاتر از مردان است (۲۴)، با این حال مکانیزم تنظیم GH در پاسخ به تمرین به طور کامل مشخص نشده است (۲۵). بعد از یک دوره‌ی طولانی تمرین مقاومتی، افزایش در سطوح هر دو نوع ایزوفرم IGF1 و سطوح پروتئین

آنابولیک و عوامل شبه رشدی را افزایش دهد، بعضی هورمون‌های استرس پس از سوختگی را کاهش دهد و بیمار را از انجام عمل‌های جراحی متنابض به منظور جلوگیری از تغییر شکل مفاصل، بازگرداندن عضلات از دست رفته و کاهش سریع دردهای ناشی از زخم بی‌نیاز سازد؟».

روش‌ها

(الف) طرح پژوهشی

این پژوهش از نوع پژوهش‌های مورد منفرد (Single subject research) است و در آن از طرح خط پایه‌ی چندگانه در میان آزمودنی‌ها (Multiple baseline across participants) استفاده شده است. طرح خط پایه‌ی چندگانه، شامل کاربرد یک موقعیت مداخله در دو یا چند خط پایه‌ی مختلف در یک مدل زمانی پلکانی (Time-staggered fashion) است. در واقع، در این طرح ابتدا داده‌های خط پایه برای هر تعداد آزمودنی پژوهش گردآوری می‌شود و سپس مداخله برای آزمودنی اول آغاز می‌شود؛ در صورتی که آزمودنی‌های دیگر همچنان در موقعیت خط پایه قرار دارند. سپس در مرحله‌ی بعد، آزمودنی دوم نیز علاوه بر آزمودنی اول مداخله دریافت می‌کند (مدل زمانی پلکانی برای ارایه مداخله) (۳۳).

منطق زیربنایی طرح‌های آزمایشی مورد منفرد همانند طرح‌های گروهی است و تأثیر مداخله با مقایسه‌ی شرایط متفاوتی که به آزمودنی ارایه می‌گردد، بررسی می‌شود. عملکرد آزمودنی در مرحله‌ی پیش از مداخله یعنی مرحله‌ی خط پایه، برای پیش‌بینی رفتار آزمودنی در آینده به کار برده

یک جلسه تمرین افزایش یافت (۳۰). راه‌ها و تدبیرهایی برای درمان سوختگی و برگرداندن افراد سانحه دیده به زندگی عادی وجود دارد که در طی دو دهه‌ی گذشته رایج‌ترین روش درمان بیماران با سوختگی شدید، برداشتن قسمت‌های سوخته شده و باندپیچی آن‌ها می‌باشد. این روش‌های جراحی در بعضی مواقع می‌تواند موجب مرگ فرد شود یا او را نجات بخشد (۳۱). همان‌طور که در تحقیقات نشان داده شده است، افراد مبتلا به سوختگی شدید حتی تا ۲۴ ماه آثار مضر کاتabolیک و التهابی را در بدن خود دارند. از طرفی، تحقیقات نشان می‌دهد ورزش و فعالیت بدنی منظم سبب افزایش هورمون‌ها و عواملی رشدی آنابولیک می‌شود و از آن جایی که شرکت بزرگ‌سالان در ورزش‌های مقاومتی باعث افزایش نیروی عضله و هیپرتروفی می‌شود و با توجه به این که فعالیت‌های روزمره، وظایفی جامع هستند که مستلزم نیروی عضله و تحملند، یک برنامه‌ی مقاومتی مؤثر ممکن است در توانبخشی افراد با سوختگی شدید، با افزایش نیروی عضلانی و ظرفیت انجام کار و کاهش کاتabolیک عضله و التهاب درونی آن‌ها اثرگذار باشد (۳۲).

طراحی تمرین‌های مقاومتی با استفاده از انقباض‌های درون‌گرا، با تکرار زیاد و با مقاومت و بار کم، قدرت عضلانی افراد را بدون عوارض جانبی بر استخوان، عضله یا بافت پیوندی افزایش می‌دهد (۶)؛ به طوری که تمرین‌های مقاومتی باعث افزایش ۳۰-۵۰ درصد در قدرت عضله‌ی کودکان پس از ۸-۱۲ هفته می‌شود (۲۳). با استناد به تحقیقات و نظریه‌های موجود محقق قصد دارد، بررسی کند که «آیا انجام ورزش‌های مقاومتی، می‌تواند هورمون‌های

ج) ابزار اندازه‌گیری

از نمونه گیری خونی برای اندازه گیری GH، IGF1 و IGFBP^۳ پلاسما استفاده شد. همه‌ی نمونه‌ها در ساعت ۸:۳۰ صبح در پایان هر ماه ۲۴ ساعت پس از آخرین وله‌ی تمرینی گرفته شد. در موقعیت مداخله و پیگیری بدون انجام تمرینات پس از پایان هر ماه، نمونه‌ها جمع‌آوری می‌شد.

د) جلسات تمرین

تمرین مقاومتی برای دو آزمودنی، ۴ ماه پس از سوختگی آغاز شد و برای ۸ ماه سه روز در هفته ادامه یافت. در ابتدای همه‌ی جلسات به مدت ۱۰ دقیقه گرم کردن با دوچرخه‌ی ثابت و بعد از آن تمرین‌های مربوط به هر جلسه انجام می‌شد. تمرین‌های اندام فوقانی شامل فلکشن آرنج برای تقویت عضله‌ی دو سر بازو، فلکشن-اکستنشن آرنج در بالای سر برای تقویت عضله‌ی سه سر بازو، ابداکشن بازو برای دو دست به طور همزمان، فلکشن بازو و حرکت پروانه بود و برای اندام تحتانی از فنرهای آویزان که به وسیله‌ی قلاب به پا متصل می‌شد، استفاده گردید و تمرین‌ها شامل فلکشن-اکستنشن مفصل ران در حالت خوابیده به طوری که فنر به عنوان مقاومت به پا وصل شده و پا را بالا و پایین می‌آورد، اجرا شد. سپس فرد به سمت راست می‌چرخید و با پای چپ ابداکشن-ابداکشن را انجام می‌داد و بعد همین حرکت روی سمت مخالف انجام می‌شد. همچنین فرد به شکم خوابیده و فنر را با فلکشن-اکستنشن زانو برای تقویت عضلات همترینگ حرکت می‌داد. در حالت نشسته فنر موازی با زمین به میله‌ها وصل و حرکت جلوی ران با فلکشن-اکستنشن مفصل زانو انجام می‌شد و در آخر، با سرد کردن عضلات، جلسه‌ی

می‌شود. طرح‌های خط پایه‌ی چندگانه، قابلیت اثبات روابط علت و معلولی را در شرایط آزمایشی دارند. این طرح‌ها با ورود پلکانی آزمودنی‌ها، پژوهشگر را قادر می‌سازد که اثر متغیرهای مزاحم را حذف کند و تغییر متغیر وابسته را فقط بر اساس متغیر مستقل تبیین نماید (۳۳).

در پژوهش حاضر، پس از ۳ جلسه اندازه‌گیری در خط پایه برای آزمودنی اول، تمرین مقاومتی برای او به صورت انفرادی آغاز گردید و آزمودنی دیگر در موقعیت خط پایه باقی ماند. همزمان با جلسه‌ی سوم مداخله‌ی آزمودنی اول، مداخله‌ی آزمودنی دوم که ۵ نقطه‌ی خط پایه داشت، آغاز گردید.

ب) آزمودنی‌ها

دو زن مبتلا به سوختگی شدید در بیمارستان سوانح و سوختگی مرکزی در این تحقیق شرکت کردند. معیار ورود به تحقیق سوختگی درجه‌ی ۳ و دامنه‌ی سنی ۲۰-۳۰ سال و جنسیت زن بود.

ویژگی‌های آزمودنی‌ها به شرح زیر بود:
ش-ص ۲۵ ساله که در مغازه‌ی مواد پزشکی همسرش بر اثر تماس استون صنعتی با هیتر بر قی مبتلا به سوختگی شدید در ناحیه‌ی ران و ساق پای چپ و ران پای راست، ناحیه‌ی شکمی و باسن و اندکی در دست‌ها شده بود. پس از بستری در بیمارستان، ۲ ماه در ICU (Intensive care unit) به سر برده و امیدی به ادامه‌ی زندگیش نبوده است، اما پس از آن کمی بهبود یافت و در بخش عادی بستری شد.

ف-ت ۲۷ ساله که در راه مسافرت با ماشین شخصی و همراه خانواده در اثر سانحه‌ی تصادف دچار آتش‌سوزی شده بود. سوختگی در تمام ناحیه‌ی صورت، دست‌ها و پاهای بود.

تحلیل دیداری (Visual analysis) نمودارها و شاخص روند (Trending)، ثبات (Stability)، درصد PND (Percentage of non-overlapping data) و درصد POD (Percentage of overlapping data).

یافته‌ها

نتایج نمونه‌گیری در سطوح IGF1، GH و IGFBP3 در دو آزمودنی در مراحل خط پایه، مداخله و پیگیری در جداول ۱ و ۲ آمده است.

یافته‌های جداول ۱ و ۲ به صورت نمودار داده‌ها در شکل‌های ۱ و ۲ آمده است.

تمرین به پایان می‌رسید.

به دلیل محدودیت‌های حرکتی آزمودنی‌ها از کمترین وزنه‌ای که فرد می‌توانست به اندازه‌ی ۵ تکرار در سه وله اجرا کند، استفاده شد. پس از سازگاری عضلات با برنامه، تعداد تکرار به ۸ و در ادامه‌ی تمرین‌ها به ۱۲ تکرار رسید. پس از این مرحله، وزنه‌ی مورد استفاده کمی سنگین‌تر می‌شد. در استفاده از فنر نیز بعد از رسیدن به ۱۲ تکرار، فرد با ۲ فنر و در ادامه، اضافه بار تمرین با افزایش فنرها انجام می‌گرفت. آزمودنی‌ها قبل از انجام طرح و در طول درمان در هیچ گونه فعالیت بدنسportی یا فیزیوتراپی شرکت نداشتند.

روش تجزیه و تحلیل داده‌ها

در این پژوهش، برای تجزیه و تحلیل داده‌ها از

جدول ۱. داده‌های IGF1، GH و IGFBP3 در موقعیت خط پایه برای دو آزمودنی

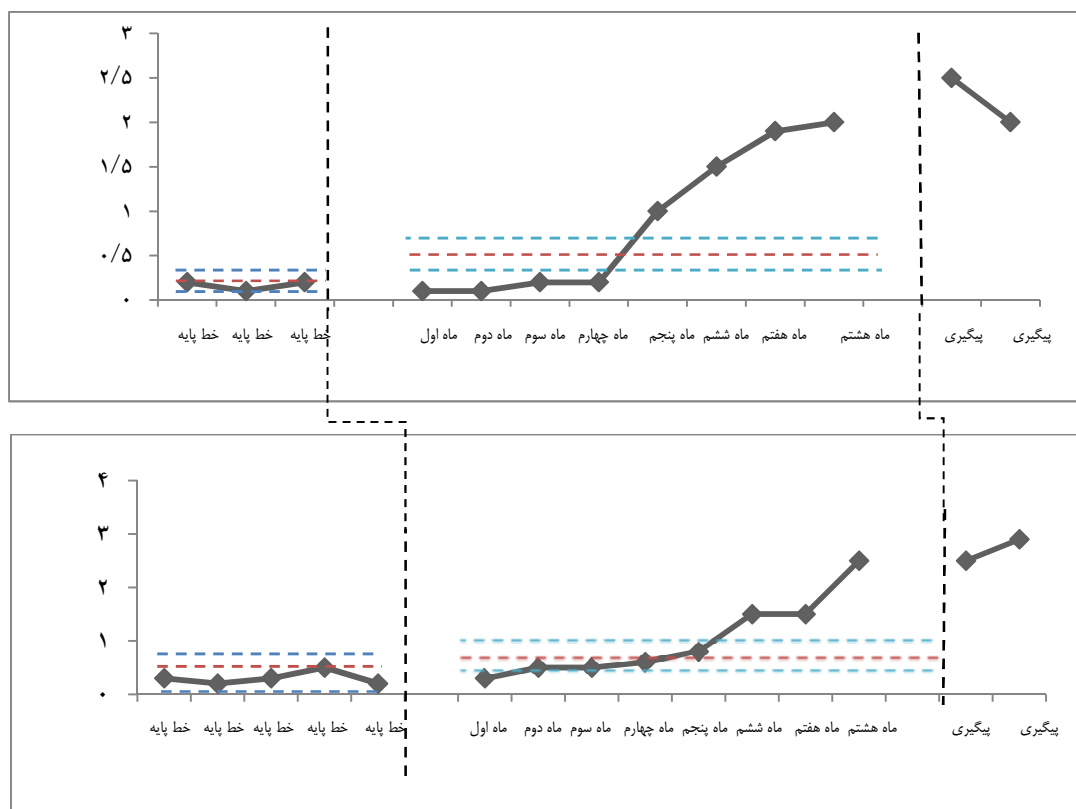
آزمودنی	جلسات						
	جلسه‌ی هفتم	جلسه‌ی ششم	جلسه‌ی پنجم	جلسه‌ی چهارم	جلسه‌ی سوم	جلسه‌ی دوم	جلسه‌ی اول
GH	۰/۲	۰/۵	۰/۳	۰/۲	۰/۱	۰/۲	Sh
F			۳۵۰	۳۷۰	۳۸۲/۲	۰/۳	
IGF1	۳۶۰	۳۶۳	۳۶۵	۳۶۹	۳۷۰	۳۷۰	F
IGFBP3			۳۵۴۶	۳۵۹۹	۳۷۶۰	۳۷۶۰	Sh
F	۳۰۲۳	۳۱۴۵	۳۳۲۵	۳۴۰۵	۳۴۵۰	۳۴۵۰	

GH: Growth hormone; IGF1: Insulin-like growth factor 1; IGFBP3: Insulin-like growth factor binding protein 3

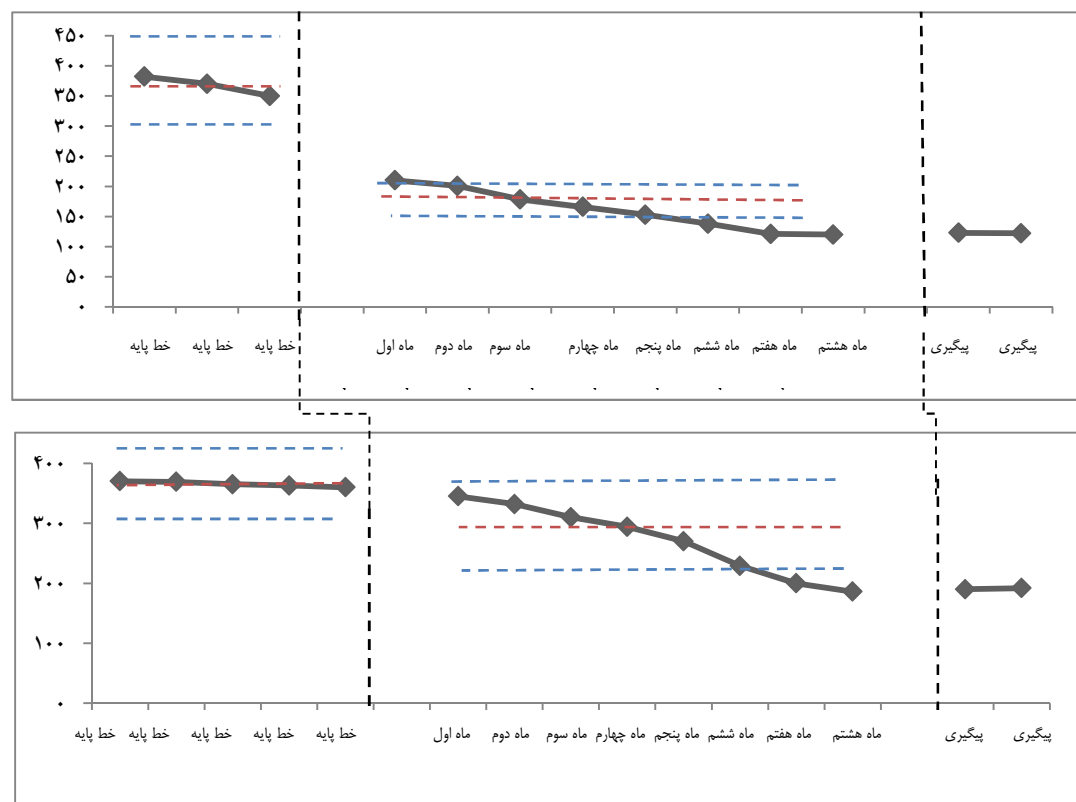
جدول ۲. داده‌های IGF1، GH و IGFBP3 در موقعیت مداخله و پیگیری برای دو آزمودنی

آزمودنی	جلسات										
	ماه اول	ماه دوم	ماه سوم	ماه چهارم	ماه پنجم	ماه ششم	ماه هفتم	ماه هشتم	پیگیری	پیگیری	پیگیری
GH	۰/۱	۰/۱	۰/۲	۰/۲	۱/۰	۱/۰	۱/۹	۲۲/۰	۲/۵	۲/۵	۲/۰
F	۰/۳	۰/۵	۰/۵	۰/۶	۰/۸	۰/۶	۱/۵	۲/۵	۲/۵	۲/۹	۲/۹
IGF1	۲۱۰	۲۰۰	۱۷۸	۱۶۶	۱۵۳	۱۳۸	۱۲۱	۱۲۰	۱۲۳	۱۲۲	۱۲۲
F	۳۴۵	۳۳۲	۳۳۰	۳۲۹	۳۲۷	۳۲۶	۳۲۴	۳۲۳	۳۱۴	۳۱۰	۱۹۲
IGFBP3	۳۰۳۵	۲۹۶۰	۲۸۸۹	۲۷۹۷	۲۷۶۴	۲۷۶۰	۲۷۶۵	۲۷۴۰	۲۷۲۲	۲۷۲۲	۲۷۲۲
F	۲۷۵۶	۲۶۳۹	۲۶۰۳	۲۵۹۰	۲۵۷۴	۲۵۷۴	۲۵۶۷	۲۵۵۸	۲۶۳۹	۲۶۳۹	۲۶۵۱

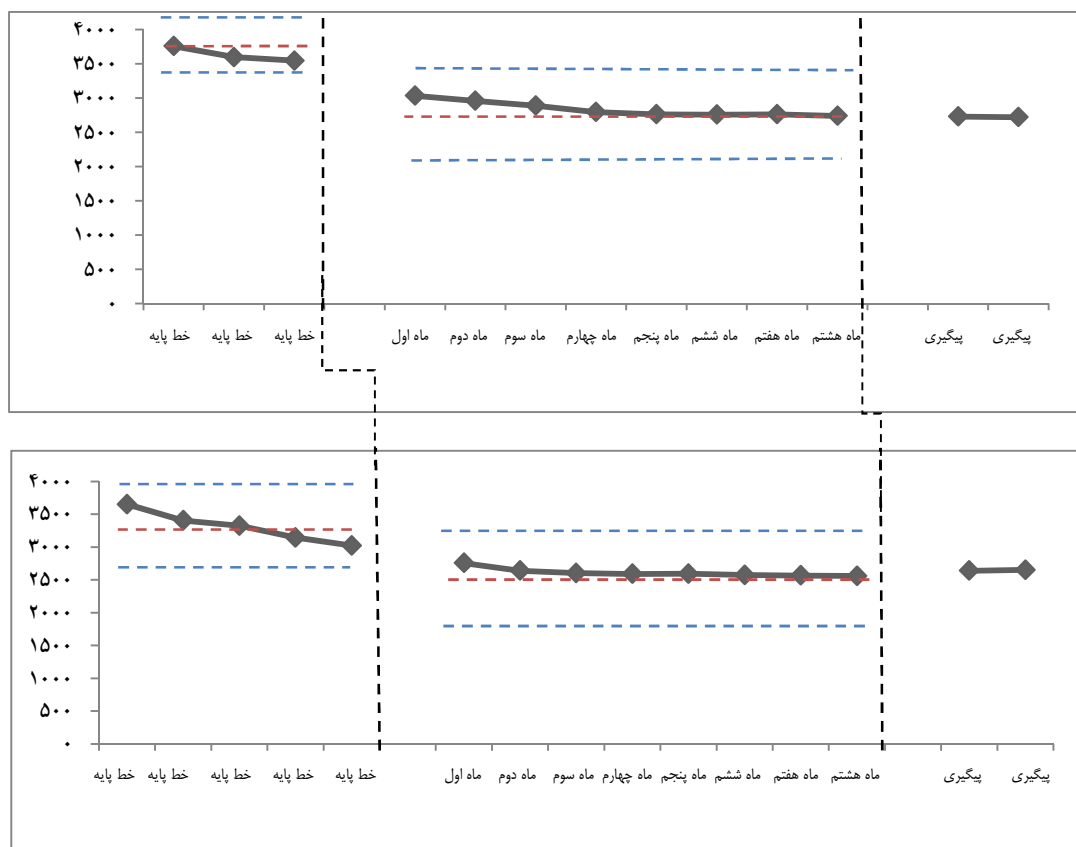
GH: Growth hormone; IGF1: Insulin-like growth factor 1; IGFBP3: Insulin-like growth factor binding protein 3



شکل ۱. مقادیر GH (Growth hormone) پلاسمای دو آزمودنی در موقعیت‌های خط پایه، مداخله و پیگیری



شکل ۲. مقادیر IGF1 (Insulin-like growth factor) پلاسمای دو آزمودنی در موقعیت‌های خط پایه، مداخله و پیگیری



شکل ۳. مقادیر (IGFBP^۳) پلاسمای دو آزمودنی در موقعیت‌های خط پایه، مداخله و پیگیری

کردن (Split-midd) استفاده شد و محفظه‌ی ثبات خط روند بر اساس معیار ۲۰-۸۰ درصدی رسم شد. پس از رسم خط میانه و خط روند و محفظه‌ی ثبات آن‌ها، شاخص‌های آمار توصیفی مانند میانه و میانگین و شاخص‌های تحلیل دیداری درون موقعیتی و بین موقعیتی مانند تغییر سطح و روند و PND محاسبه شد. PND نشان دهنده‌ی درصد غیر همپوشی نقاط دو موقعیت آزمایشی (خط پایه و مداخله) است. میزان کنترل آزمایشی در پژوهش مورد منفرد، به تغییر سطح از یک موقعیت به موقعیت دیگر و درصد داده‌های غیر همپوش (PND) بستگی دارد؛ به این معنی که تغییرات اندک در مقادیر متغیر وابسته در طی مداخله‌ای که بعد از یک مسیر داده‌ی

برای تحلیل دیداری نمودار داده‌ها، پس از رسم نمودار برای هر آزمودنی، در مرحله‌ی اول با استفاده از میانه‌ی داده‌های موقعیت خط پایه و مداخله، خط میانه‌ی داده‌ها موازی با محور X کشیده شد و یک محفظه‌ی ثبات (Stability envelope) روی خط میانه قرار گرفت. محفظه‌ی ثبات یعنی دو خط موازی که یکی پایین و دیگری بالای خط میانه رسم شود. فاصله و دامنه‌ی بین دو خط، میزان بیرون افتادگی یا تغییر پذیری سری داده‌ها را نشان می‌دهد. با استفاده از معیار ۲۰-۸۰ درصدی، اگر ۸۰ درصد نقاط داده‌ها زیر یا درون ۲۰ درصد مقدار میانه (محفظه‌ی ثبات) قرار گیرند، گفته می‌شود داده‌ها ثبات دارد (۱). پس از آن، برای بررسی روند داده‌ها، از روش دو نیم

سطوح GH در جدول ۳ ذکر شده است. خط میانه، خط روند و محفظه‌ی ثبات آن‌ها برای دو آزمودنی در IGF1 پلاسما طبق شکل‌های ۶ و ۷ می‌باشد.

خلاصه‌ی نتایج تحلیل دیداری در دو آزمودنی در سطوح IGF1 در جدول ۴ ذکر شده است.

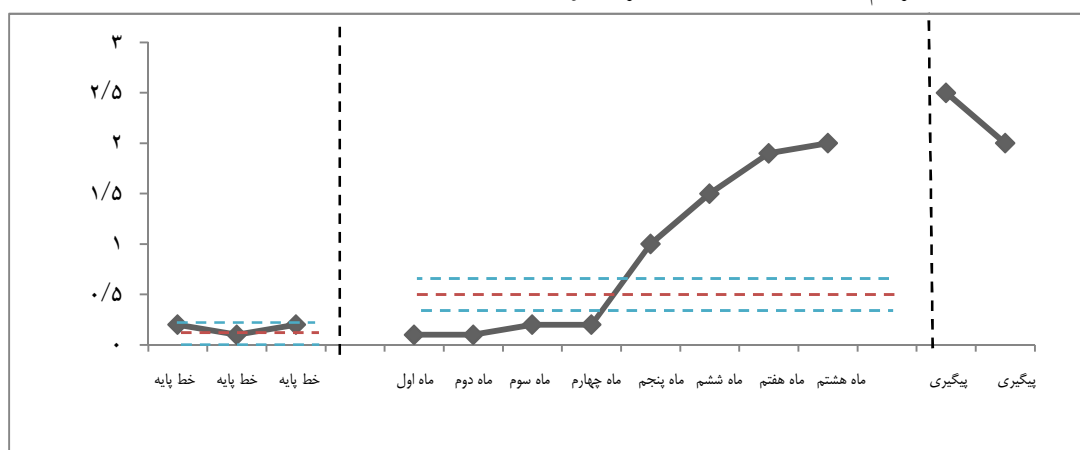
خط میانه، خط روند و محفظه‌ی ثبات آن‌ها برای دو آزمودنی در IGFBP3 پلاسما طبق شکل‌های ۸ و ۹ می‌باشد.

خلاصه‌ی نتایج تحلیل دیداری در دو آزمودنی در سطوح IGFBP3 در جدول ۵ آمده است.

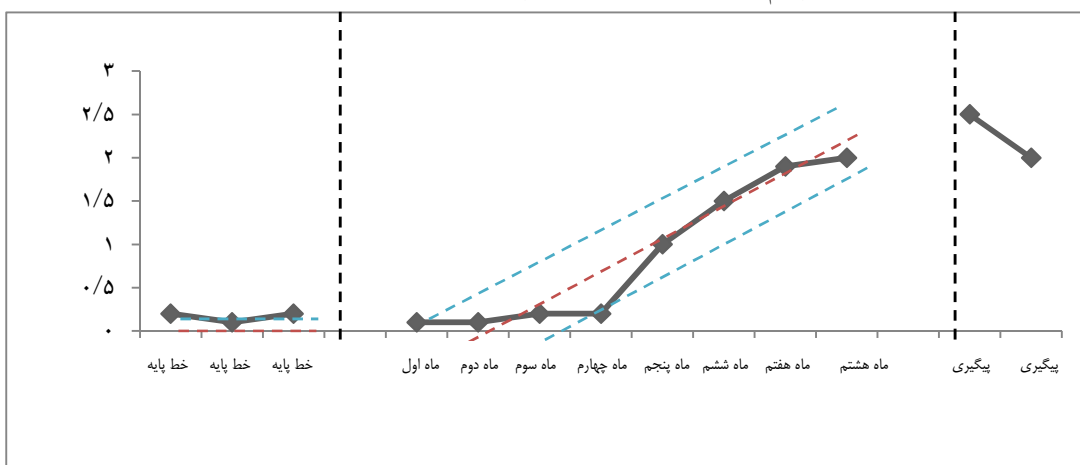
متغیر در موقعیت خط پایه قرار دارد، نسبت به تغییرات اندک در مداخله‌ای که ثبات در مسیر داده‌های خط پایه‌ی وجود داشته است، کترول آزمایشی کمتری دارد. همچنین، هر چه PND بین دو موقعیت مجاور بالاتر (یا POD پایین‌تر) باشد، با اطمینان بیشتری می‌توان مداخله را اثربخش دانست. بر اساس تحلیل دیداری نمودار داده‌های دو آزمودنی در خط میانه، خط روند و محفظه‌ی ثبات آن‌ها در GH پلاسما به قرار زیر به دست آمد (شکل‌های ۴ و ۵).

خلاصه‌ی نتایج تحلیل دیداری در دو آزمودنی در

ترسیم خط میانه و محفظه‌ی ثبات برای نمودار داده‌های (Growth hormone) GH/SH

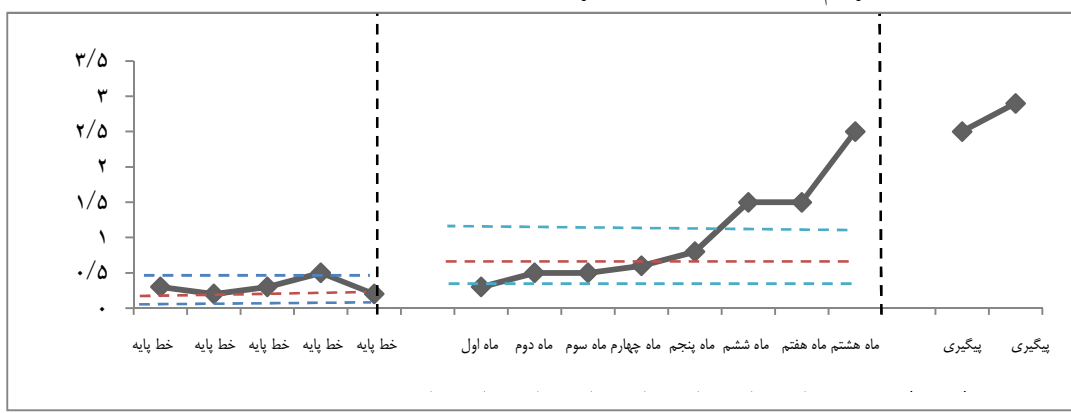


ترسیم خط روند و محفظه‌ی ثبات برای نمودار داده‌های GH/SH

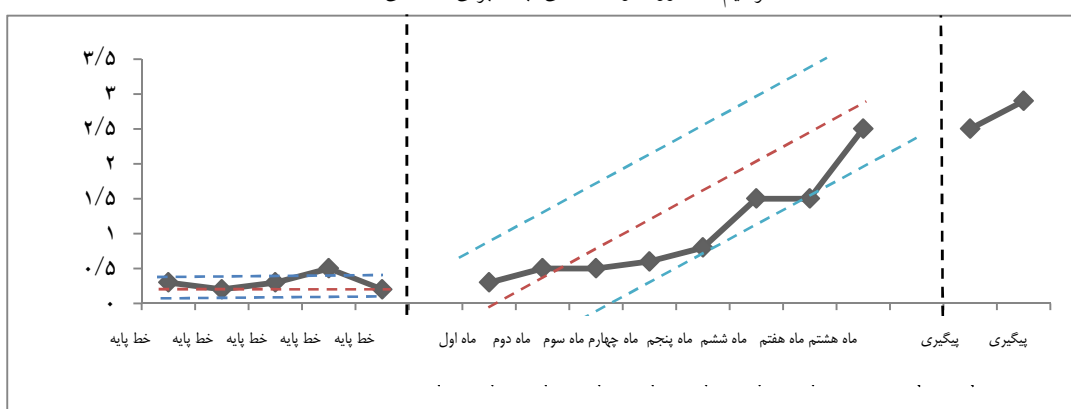


شکل ۴. خط میانه، خط روند و محفظه‌ی ثبات آزمودنی اول (ش-ص)

ترسیم خط میانه و محفظه‌ی ثبات برای داده‌های GH/F (Growth hormone)



ترسیم خط روند و محفظه‌ی ثبات برای داده‌های GH/F



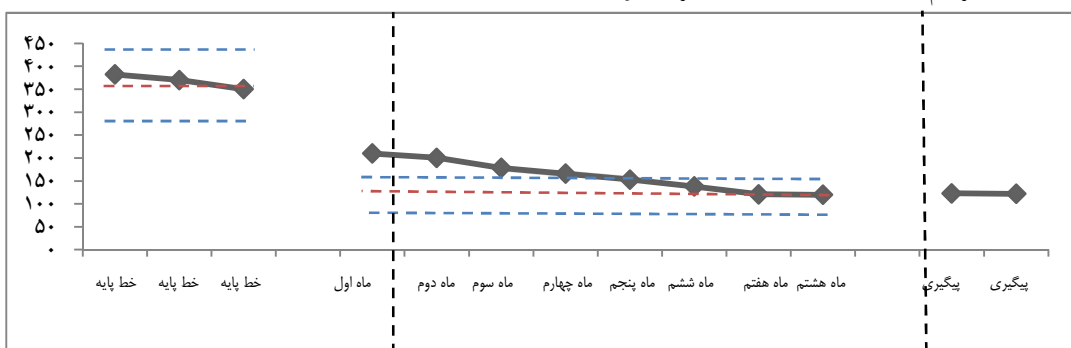
شکل ۵. خط میانه، خط روند و محفظه‌ی ثبات آزمودنی دوم (ف-ط)

جدول ۳. متغیرهای تحلیل دیداری درون موقعیتی و بین موقعیتی برای دو آزمودنی در GH (Growth hormone) پلاسما

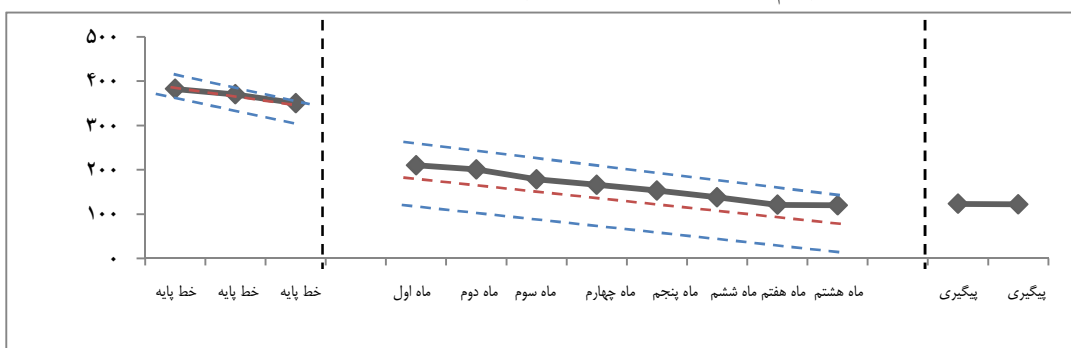
		درون موقعیتی					
		توالی موقعیت					
		آزمودنی‌ها					
B	A	مقایسه‌ی موقعیت	B	A	A	دوام	آزمودنی‌ها
دوم	اول	آزمودنی	دوم	اول	دوم	اول	آزمودنی‌ها
تغییرات روند		طول موقعیت‌ها				طول موقعیت‌ها	
تغییر جهت		سطح				سطح	
مثبت		میانه				میانگین	
با ثبات به باثبات		اثر وابسته به هدف	۰/۷	۰/۶	۰/۳	۰/۲	میانگین
تغییرات در سطح		مثبت	۱/۰۲	۰/۸۷	۰/۳	۰/۱۶	دامنه‌ی تغییرات
۰/۴ به ۰/۵		تغییر نسبی	۰/۳-۲/۵	۰/۱-۲/۰	۰/۲-۰/۵	۰/۱-۰/۲	دامنه‌ی تغییرات محفظه‌ی ثبات
۰/۳ به ۰/۵		تغییر مطلق	۰/۲ به ۲/۰	۰/۲ به ۰/۲	۰/۲-۰/۴	۰/۱-۰/۲	تغییر نسبی
۰/۳ به ۰/۷		تغییر میانه	۰/۵-۱/۵	۰/۱-۱/۷	۰/۲-۰/۴	۰/۱-۰/۲	تغییر مطلق
۰/۳۰ به ۱/۰۲		تغییر میانگین	۰/۳-۲/۵	۰/۱-۲/۰	۰/۲-۰/۳	۰/۲-۰/۲	رونده
همپوشی‌ها		جهت				جهت	
٪۸۷		PND	صعودی	صعودی	هم سطح	بایثبات	بایثبات
٪۱۳		POD	بایثبات	بایثبات	بایثبات	بایثبات	بایثبات
٪۲۵			خیر	خیر	خیر	خیر	مسیرهای چندگانه

POD: Percentage of overlapping data; PND: Percentage of non-overlapping data

ترسیم خط میانه و محفظه‌ی ثبات برای نمودار داده‌های IGF1/SH (Insulin-like growth factor 1)

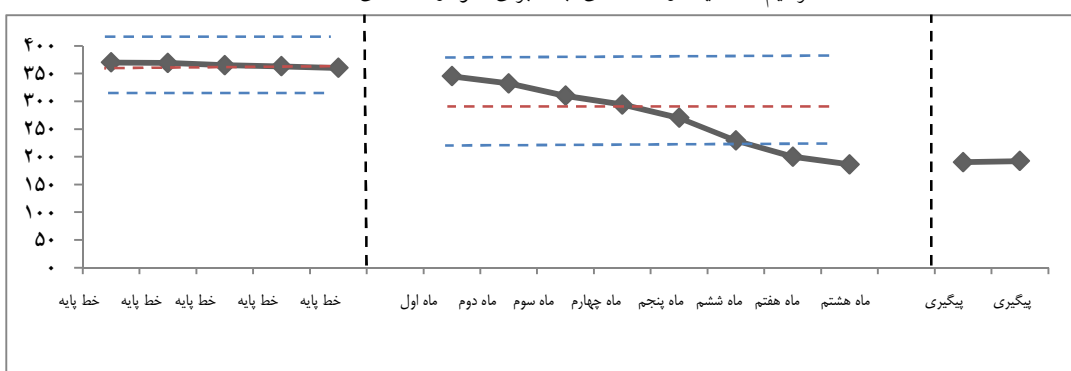


ترسیم خط روند و محفظه‌ی ثبات برای نمودار داده‌های IGF1/SH

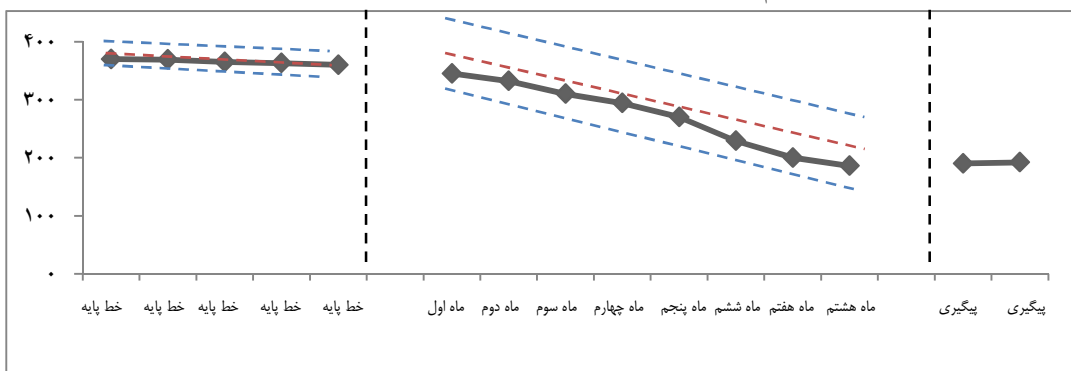


شکل ۶. خط میانه، خط روند و محفظه‌ی ثبات آزمودنی اول (ش-ص)

ترسیم خط میانه و محفظه‌ی ثبات برای نمودار داده‌های IGF1/F



ترسیم خط روند و محفظه‌ی ثبات برای نمودار داده‌های IGF1/F



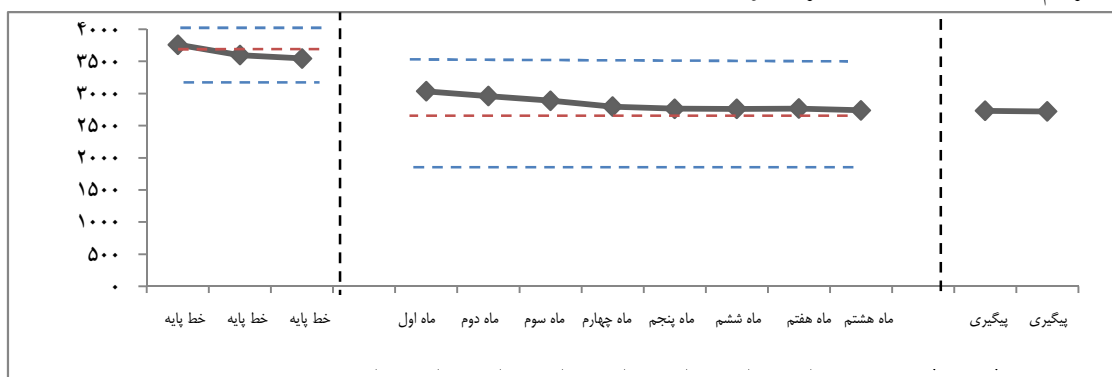
شکل ۷. خط میانه، خط روند و محفظه‌ی ثبات آزمودنی دوم (ف-ط)

جدول ۴. متغیرهای تحلیل دیداری درون موقعیتی و بین موقعیتی برای دو آزمودنی در IGF1 (Insulin-like growth factor1) پلاسما

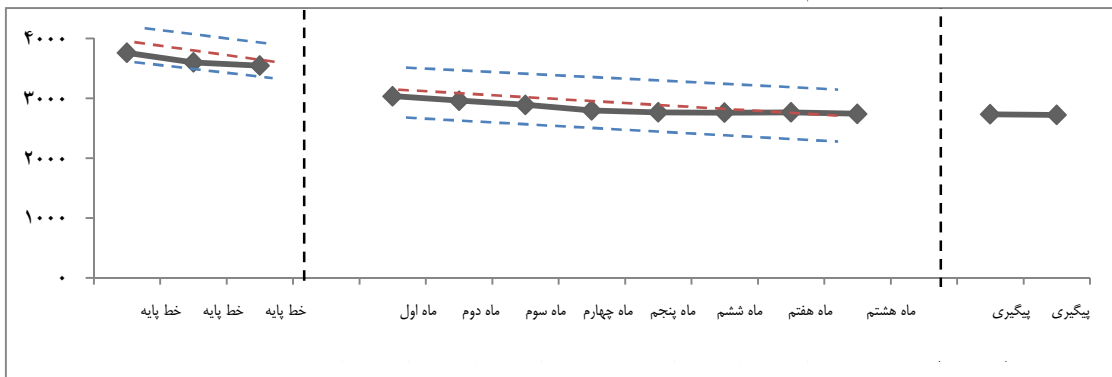
		بین موقعیت‌ها		درون موقعیتی				
B	A	مقایسه‌ی موقعیت	B	A	B	A	توالی موقعیت	
دوم	اول	آزمودنی	دوم	اول	دوم	اول	آزمودنی‌ها	
		تفیرات روند	۸	۸	۵	۳	طول موقعیت‌ها	
							سطح	
							میانه	
							میانگین	
							دامنه‌ی تغیرات	
							تغییرات محفظه ثبات	
۳۸۲ ب ۳۲۱	۳۸۲ ب ۱۲۹	تغییر نسبی	بی ثبات	بی ثبات	بایثبات	بایثبات	تغییر سطح	
۳۷۰ ب ۳۴۵	۳۸۲ ب ۲۱۰	تغییر مطلق						
۳۶۵ ب ۲۸۲	۳۷۰ ب ۱۵۹	تغییر میانه	۲۱۴-۳۲۱	۱۲۹۰۵-۱۸۹۰۵	۳۶۲-۳۶۹۰۵	۳۶۰-۳۸۲۰۲	تغییر نسبی	
۳۶۵ ب ۲۷۱	۳۶۷ ب ۱۶۱	تغییر میانگین	۱۸۶-۳۴۵	۱۲۰-۲۱۰	۳۶۰-۳۷۰	۳۵۰-۳۸۲	تغییر مطلق	
		همپوشی‌ها					روند	
%۱۰۰	%۱۰۰	PND	نزولی	نزولی	نزولی	نزولی	جهت	
%۰	%۰	POD	بایثبات	بایثبات	بایثبات	بایثبات	ثبات	
			خیر	خیر	خیر	خیر	مسیرهای چندگانه	

POD: Percentage of overlapping data; PND: Percentage of non-overlapping data

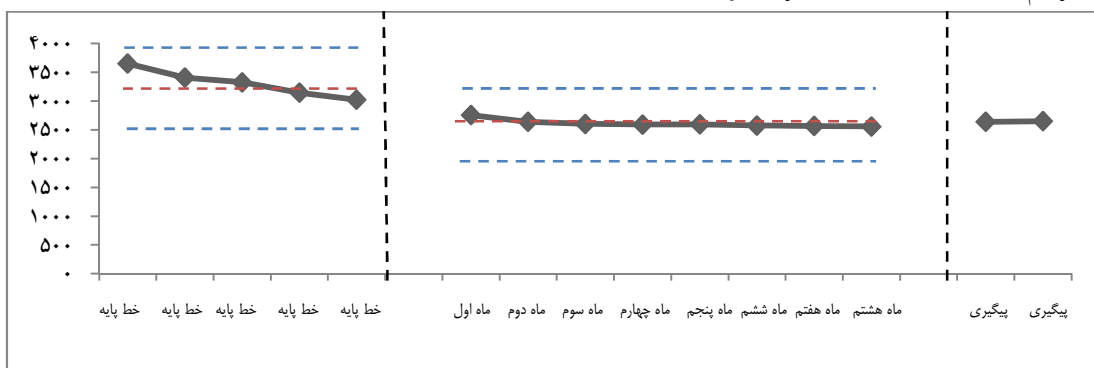
ترسیم خط میانه و محفظه‌ی ثبات برای نمودار داده‌های (Insulin-like growth factor binding protein3) IGFBP3/SH



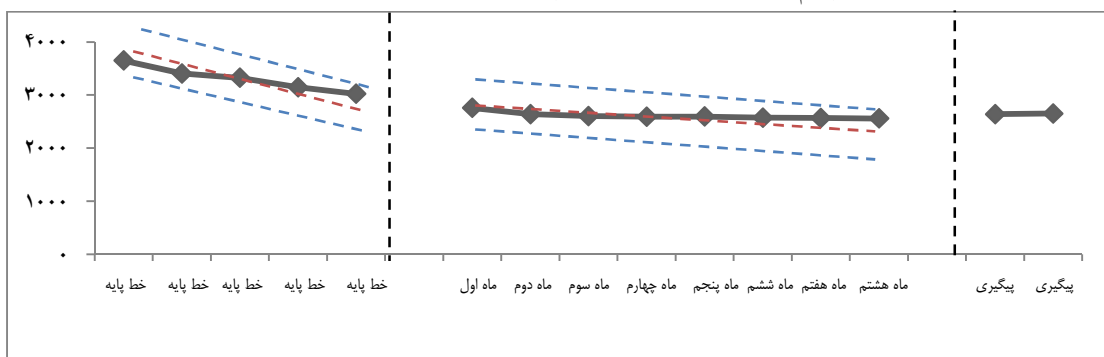
ترسیم خط روند و محفظه‌ی ثبات برای نمودار داده‌های IGFBP3/SH



شکل ۸. خط میانه، خط روند و محفظه‌ی ثبات آزمودنی اول (ش-ص)

ترسیم خط میانه و محفظه‌ی ثبات برای نمودار داده‌های (Insulin-like growth factor binding protein^۳) IGFBP3/F

ترسیم خط روند و محفظه‌ی ثبات برای نمودار داده‌های IGFBP3/F



شکل ۹. خط میانه، خط روند و محفظه‌ی ثبات آزمودنی دوم (ف-ط)

جدول ۵. متغیرهای تحلیل دیداری درون موقعیتی و بین موقعیتی برای دو آزمودنی در ^۳ Insulin-like growth factor binding protein (IGFBP^۳)

		بین موقعیت‌ها		درون موقعیت			
B	A	مقایسه‌ی موقعیت		B	A	A	توالی موقعیت
دوم	اول	آزمودنی	آزمودنی	دو	اول	دو	آزمودنی‌ها
	تغییرات روند			۸	۸	۵	طول موقعیت‌ها
		تغییر جهت					سطح
			اثر وابسته به هدف	۲۵۹۱	۲۷۸۱	۳۳۲۵	میانه
	منفی	منفی					
			با ثابت به با ثابت	۲۶۱۰	۲۸۳۸	۳۳۰۹	میانگین
			تغییر ثبات				
			تغییر در سطح	۲۵۵۸-۲۷۵۶	۲۷۴۰-۳۰۳۵	۳۰۲۳-۳۶۵۰	دامنه‌ی تغییرات
۳۱۴۵ به ۲۶۲۱	۳۵۴۶ به ۲۶۲۴	تغییر نسبی	با ثابت	با ثابت	با ثابت	با ثابت	دامنه‌ی تغییرات محفظه‌ی ثبات
۳۶۵۰ به ۲۷۵۶	۳۷۶۰ به ۳۰۳۵	تغییر مطلق					تغییر سطح
۳۳۲۵ به ۲۵۹۱	۳۵۹۹ به ۲۷۸۱	تغییر میانه	۲۴۱۰-۲۶۲۱	۲۶۴۲-۲۹۲۴	۳۱۴۵-۳۵۲۷	۳۵۴۶-۳۷۶۰	تغییر نسبی
۳۳۰۹ به ۲۶۱۰	۳۶۳۵ به ۲۸۳۸	تغییر میانگین	۲۵۵۸-۲۷۵۶	۲۷۴۰-۳۰۳۵	۳۰۲۳-۳۶۵۰	۳۵۴۶-۳۷۶۰	تغییر مطلق
		هموپوشی‌ها					روند
%۱۰۰	%۱۰۰	PND	هم سطح	هم سطح	نزولی	نزولی	جهت
%۰	%۰	POD	با ثابت	با ثابت	با ثابت	با ثابت	ثبات
			خیر	خیر	خیر	خیر	مسیرهای چندگانه

POD: Percentage of overlapping data; PND: Percentage of non-overlapping data

است و مداخله در اولین آزمودنی ۷۵٪ و در دومین آزمودنی ۸۷٪ مؤثر بوده است.

مطابق نتایج مطالعه‌ی Low Aili و همکاران (۱۱)، کاهش GH در گرددش پس از سوختگی ادامه می‌باید که با یافته‌های تحقیق حاضر در خط پایه‌ی آزمودنی‌ها همخوانی دارد و این کاهش، حتی در موقعیت مداخله با انجام تمرین‌ها در ماه‌های اول به چشم می‌خورد. طبق نتایج مطالعه‌ی Kraemer و Ratamess تمرین مقاومتی باعث افزایش GH در افراد سالم می‌شود (۲۴) که با نتایج پژوهش حاضر در افراد سوخته همخوانی دارد و افزایش GH در گرددش ۴ ماه پس از انجام تمرین‌ها شروع شده است؛ احتمال می‌رود در ۴ ماه ابتدایی مداخله، شرکت در تمرین‌های مقاومتی از کاهش بیشتر و مداوم GH پس از سوختگی جلوگیری کرده است.

تریک GH به تنهایی موجب افزایش ۲۰٪ برابری در تولید IGF1 mRNA در عضله‌ی اسکلتی نسبت به تریک IGF1 به تنهایی (افزایش ۲/۵ برابری) می‌شود که ممکن است مربوط به مکانیزم تنظیم تراکم عضله‌ی اسکلتی باشد؛ زیرا افزایش سطوح اتوکرین/پاراکرین IGF1 نشان می‌دهد که مهم‌تر از سیستم IGF1 در گرددش است (۸). بنابراین، در مطالعه‌ی حاضر نیز افزایش GH ممکن است موجب افزایش IGF1 درون عضلانی و در نتیجه، افزایش سنتز پروتئین در عضلاتی که مورد تمرین قرار گرفته‌اند شود. اما از محدودیت‌های این تحقیق این است که تغییرات IGF1 عضلانی بررسی نشد.

پرداختن به فعالیت بدنی باعث ترشح GH می‌شود که از طریق خون به کبد و سایر بافت‌ها می‌رود و تولید IGF1 را امکان پذیر می‌سازد.

بحث

افزایش عوامل رشدی و آنابولیک برای کاهش هایپرمتابولیسم و کاتابولیسم عضلانی به منظور تسريع در ترمیم عضلات از دست رفته، بهبود سریع جراحت‌ها و کاهش ناراحتی‌ها و دردهای پس از سوختگی شدید، بدون استفاده از عمل‌های جراحی پرهزینه و متعدد از اهداف روش‌های درمانی سوختگی است.

جداول ۱ و ۲ داده‌های آزمودنی‌ها را قبل و پس اجرای مداخله نشان می‌دهد و در شکل‌های ۱، ۲ و ۳ نیز این داده‌ها به صورت مصور قابل مشاهده است. نتایج پژوهش حاضر نشان داد که ۸ ماه تمرین مقاومتی باعث افزایش سطوح در گرددش GH در افراد مبتلا به سوختگی شدید شده است، اما افزایشی در سطوح IGF1 و IGFBP3 مشاهده نشد.

طبق شکل‌های ۴ و ۵ نقاط خط پایه، روندی نزولی و ثابت در GH پلاسمای دو آزمودنی نشان داده است. با شروع تمرین‌ها، تغییر زیادی در ۴ ماه اول در سطح و روند (طبق شاخص تغییر سطح و تغییر روند) نمرات ایجاد نشد؛ اما پس از آن روند، صعودی شد. روند نمرات از نزولی به صعودی تغییر یافت که این نشان دهنده‌ی اثربخشی تمرین بر GH پلاسمای این افراد بوده است.

همان‌گونه که در جدول ۳ آمده است، میانگین نمرات GH از ۰/۱۶ در خط پایه به ۰/۸۷ در مداخله در آزمودنی اول و از ۰/۰۲ به ۰/۰۳ در مداخله رسیده است که نشان دهنده‌ی افزایش سطوح GH در این دو آزمودنی شده است. همچنین شاخص PND نشان می‌دهد که همپوشی بین نقاط خط پایه و مداخله در آزمودنی اول ۰/۲۵ و در آزمودنی دوم ۰/۱۳ بوده

آزمودنی ۱۰۰ درصد بوده، اما اثر مداخله در دو آزمودنی در جهت هدف نبوده است.

طبق شکل های ۸ و ۹ نقاط خط پایه IGFBP^3 پلاسمما، روندی نزولی برای دو آزمودنی داشته است؛ با شروع تمرین در ابتدا روند نزولی برای دو آزمودنی مشاهده می شود (طبق شاخص تغییر سطح و تغییر روند)؛ اما پس از آن روند به صورت ثابت ادامه یافته است. روند نمرات از نزولی به هم سطح بوده است؛ که این نشان دهنده ای اثربخشی تمرین بر سطح IGFBP^3 پلاسمای این افراد بوده است. شاید تمرین ها از روند نزولی IGFBP^3 و کاهش بیش از حد آن جلوگیری کرده است.

همان گونه که در جدول ۵ آمده است، میانگین نمرات IGFBP^3 از ۳۶۳۵ در خط پایه به ۲۸۳۸/۷ در مداخله آزمودنی اول و از ۳۳۰۹/۶ به ۲۶۱۰ در مداخله آزمودنی دوم رسیده است، که نشان دهنده ای کاهش سطح IGFBP^3 در این دو آزمودنی شده است. همچنین شاخص PND نشان می دهد که عدم همپوشی بین نقاط خط پایه و مداخله در هر دو آزمودنی ۱۰۰ درصد بوده است؛ اما مداخله در دو آزمودنی در خلاف جهت درمان پیش رفته است. احتمال می رود چون IGFBP^3 یک واسطه برای اعمال IGF1 می باشد، سطوح در گردش IGF1 با تبدیل بیشتر به IGFBP^3 برای ایجاد آثار آنابولیک عضلانی کاهش یافته است و تمرین ها اگر چه باعث افزایش معنی دار در سطح IGFBP^3 در گردش نشده است؛ اما ممکن است از روند نزولی آن نسبت به خط پایه جلوگیری کرده باشد.

کاهش مقدار IGF1 و IGFBP^3 پلاسمما نیز طبق گزارش های مختلف (۱۴، ۱۳)، پس از سوختگی در

نیز اثر آنابولیکی خود را به طور مستقیم روی بافت های گوناگون اعمال می کند (۳۰).

GH به عنوان یک میتوژن برای فیبروبلاست شناخته شده است. افزایش تحریک فیبروبلاست می تواند به طور بالقوه باعث شکل گرفتن بیشتر آن شود و منجر به التیام اثر زخم در سوختگی گردد. اثر زخم بعد از ۲-۴ سال پس از سوختگی، کاهش معنی داری نشان داد. بر اساس گزارش یک پژوهش، ۱۲-۲۴ ساعت پس از درمان با IGF1 مشاهده شد که مهاجرت سلول های اپیتیال در زخم، ۲/۰-۲/۵ برابر افزایش یافته است (۲۱).

در مطالعات صادقی بروجردی و رحیمی (۲۸) و مرندی و همکاران (۳۰) افزایش معنی داری در GH پس از یک جلسه تمرین مشاهده شده است که می توان نتیجه گرفت که GH در پاسخ به تمرین مقاومتی که شدت لازم را اعمال کرده باشد، افزایش می یابد.

طبق شکل های ۶ و ۷ نقاط خط پایه IGF1 پلاسمما در آزمودنی اول روندی نزولی و در آزمودنی دوم روندی ثابت داشته است؛ با شروع تمرین باز هم روند نزولی برای دو آزمودنی مشاهده می شود (طبق شاخص تغییر سطح و تغییر روند). روند نمرات از نزولی به نزولی بوده است؛ که این نشان دهنده ای عدم اثربخشی تمرین بر IGF1 پلاسمای این افراد بوده است. همان گونه که در جدول ۴ آمده است، میانگین نمرات IGF1 از ۳۶۷/۴ در خط پایه به ۱۶۰/۸ در مداخله آزمودنی اول و از ۳۶۵/۴ به ۲۷۰/۷۵ در مداخله آزمودنی دوم رسیده است، که نشان دهنده ای کاهش سطح IGF1 در این دو آزمودنی است. همچنین شاخص PND نشان می دهد که عدم همپوشی بین نقاط خط پایه و مداخله در هر دو

IGFBP^۳ توسط GH تنظیم می‌گردد و باعث افزایش سنتز پروتئین می‌شود (۲۲).

طبق نتایج پژوهش حاضر به نظر می‌رسد تمرین مقاومتی بتواند باعث افزایش تولید IGF1 در عضلات درگیر در تمرین‌ها شود و سنتز پروتئین عضلانی را افزایش دهد. همچنین به دلیل افزایش هورمون‌های کاتابولیکی و هایپرمتابولیسم پس از سوختگی شدید، ممکن است تمرین‌ها موجب کاهش سطوح هورمون‌های کاتابولیک شود که اندازه‌گیری آن در تحقیقات آینده توصیه می‌شود.

از آن جایی که نمونه‌گیری خونی در صبح و در حالت ناشتا بود، با توجه به این که IGF1 و IGFBP^۳ در گردش پلاسمای طول شبانه روز متغیر است و به دنبال گرسنگی‌های طولانی کاهش می‌یابد، شاید کاهش IGF1 و IGFBP^۳ در این مطالعه در طول انجام تمرین‌ها، به علت زمان نمونه‌گیری باشد که می‌تواند به عنوان یک متغیر اثرگذار در تحقیقات آینده مورد بررسی قرار گیرد.

همچنین در مطالعات مختلف باشدت‌ها و حجم‌های متفاوت، تمرین‌های پاسخ IGF1 و IGFBP^۳ به تمرین در آزمودنی‌های مختلف، متفاوت بوده است؛ در نتیجه، ممکن است کاهش سطوح IGF1 در آزمودنی‌های پژوهش به خاطر بیماری و شرایط خاص آنها باشد.

تشکر و قدردانی

با تشکر از بیمارستان سوانح سوختگی شهر اصفهان به ویژه بخش فیزیوتراپی و آزمایشگاه بیمارستان که همکاری‌های کافی و لازم را در تمام طول طرح مبذول داشتند.

بیماران وجود دارد که این کاهش در خط پایه‌ی آزمودنی‌های این مطالعه وجود داشت. سطوح کم IGFBP^۳ در بیمارانی که GH ندارند، ممکن است باعث نیمه‌ی عمر کوتاه‌تر IGF1 و کاهش اثرات القای پروتئین شود (۸). افزایش در سطوح IGF1 و IGFBP^۳ پس از تمرین مقاومتی در مردان و زنان مشاهده شده است؛ اما در مطالعه‌ای دیگر، کاهش IGF1، بدون هیچ تفاوتی در سطوح پایه‌ی IGFBP^۳ و IGFBP^۳ قبل و پس از انجام تمرین‌ها مشاهده شده است (۲۰).

در همین راستا، مطالعات دیگر نیز تفاوتی در IGF1 و IGFBP^۳ را در نتیجه‌ی انجام تمرین‌های متفاوت با آزمودنی‌های مختلف نشان نداده‌اند (۲۰). بر این اساس، افزایش ۱۲ درصدی در IGF1 و درصدی در IGFBP^۳ در طول ۴ ماه تمرین در دوچرخه سواران مشاهده شد، اما در افراد غیر فعال هم‌تا این گونه نبود. همچنین، افزایش غلظت IGF1 را بیشتر از ۷۶ درصد و IGFBP^۳ را از ۹۰-۳۰ درصد در شناگران دانشگاهی بعد از ۴ ماه تمرین استقامتی نشان دادند (۲۰).

در مقابل این مطالعات، تعدادی از محققان افزایش در IGF1 و IGFBP^۳ را پس از تمرین استقامتی یا مقاومتی مشاهده نکردند. این مطالعات در رابطه با آزمودنی‌ها و پروتکل مورد استفاده در هر مطالعه متفاوت بوده است. همچنین بسیاری از مطالعات مرتبط با IGF1 انرژی دریافتی را کترل نکردند؛ در صورتی که اثر آن روی غلظت سرم IGF1 و IGFBPs نشان داده شده است. بنابراین ممکن است IGF1 یک آستانه‌ای برای مشاهده‌ی تغییر در غلظت سرم لازم باشد (۲۰). به هر حال، سطوح IGF1 و

References

1. Wiliams C. Assessment and management of pediatric burn injuries. *Nurs Stand* 2011; 25(25): 60-8.
2. Balasubramaniam A, Wood S, Joshi R, Su C, Friend LA, Sheriff S, et al. Ghrelin stimulates food intake and growth hormone release in rats with thermal injury: synthesis of ghrelin. *Peptides* 2006; 27(7): 1624-31.
3. Jeschke MG, Chinkes DL, Finnerty CC, Kulp G, Suman OE, Norbury WB, et al. Pathophysiologic response to severe burn injury. *Ann Surg* 2008; 248(3): 387-401.
4. Demling RH. Comparison of the anabolic effects and complications of human growth hormone and the testosterone analog, oxandrolone, after severe burn injury. *Burns* 1999; 25(3): 215-21.
5. Mcleak RP, Suman OE, Murphy K, Herndon DN. Effects of growth hormone on anthropometric measurements and cardiac function in children with thermal injury. *Burns* 2005; 31(1): 60-6.
6. Ormsbee M, Clapper JA, Clapper J, Vukovich MD. Moderate changes in energy balance combined with exercise do not alter insulin-like growth factor I or insulin-like growth factor binding protein 3. *Nutrition Research* 2006; 26(9): 467-73.
7. Newsome TW, Mason AD, Pruitt BA. Weight loss following thermal injury. *Ann Surg* 1973; 178(2): 215-7.
8. Edelman LS, McNaught T, Chan GM, Morris SE. Sustained bone mineral density changes after burn injury. *J Surg Res* 2003; 114(2): 172-8.
9. Suman OE, Herndon DN. Effects of cessation of a structured and supervised exercise conditioning program on lean mass and muscle strength in severely burned children. *Arch Phys Med Rehabil* 2007; 88(12 Suppl 2): S24-S29.
10. Yasuhara S, Kaneki M, Sugita H, Sugita M, Asai A, Sahani N, et al. Adipocyte apoptosis after burn injury is associated with altered fat metabolism. *J Burn Care Res* 2006; 27(3): 367-76.
11. Aili Low JF, Barrow RE, Mittendorfer B, Jeschke MG, Chinkes DL, Herndon DN. The effect of short-term growth hormone treatment on growth and energy expenditure in burned children. *Burns* 2001; 27(5): 447-52.
12. Low JF, Herndon DN, Barrow RE. Effect of growth hormone on growth delay in burned children: a 3-year follow-up study. *Lancet* 1999; 354(9192): 1789.
13. Krogh J, Nordentoft M, Mohammad-Nezhad M, Westrin A. Growth hormone, prolactin and cortisol response to exercise in patients with depression. *J Affect Disord* 2010; 125(1-3): 189-97.
14. Lang Ch, Nystrom GJ, Frost RA. Burn-induced changes in IGF-I and IGF-binding proteins are partially glucocorticoid dependent. *Am J Physiol* 2002; 51(1): 207-15.
15. Tarpenning KM, Wiswell RA, Hawkins SA, Marcell TJ. Influence of weight training exercise and modification of hormonal response on skeletal muscle growth. *J Sci Med Sport* 2001; 4(4): 431-46.
16. Velloso CP. Regulation of muscle mass by growth hormone and IGF-I. *Br J Pharmacol* 2008; 154(3): 557-68.
17. De Palo EF, Gatti R, Lancerin F, Cappellin E, Spinella P. Correlations of growth hormone (GH) and insulin-like growth factor I (IGF-I): effects of exercise and abuse by athletes. *Clin Chim Acta* 2001; 305(1-2): 1-17.
18. Aleman A, Torres-Aleman I. Circulating insulin-like growth factor I and cognitive function: neuromodulation throughout the lifespan. *Prog Neurobiol* 2009; 89(3): 256-65.
19. Suetta Ch, Clemmensen C, Andersen JL, Magnusson SP, Schjerling P, Kjaer M. Coordinated increase in skeletal muscle fiber area and expression of IGF-I with resistance exercise in elderly post-operative patients. *Growth Horm IGF Res* 2010; 20(2): 134-40.
20. Wahl P, Zinner C, Achtzehn S, Bloch W, Mester J. Effect of high- and low-intensity exercise and metabolic acidosis on levels of GH, IGF-I, IGFBP-3 and cortisol. *Growth Horm IGF Res* 2010; 20(5): 380-5.
21. Lal SO, Wolf SE, Herndon DN. Growth hormone, burns and tissue healing. *Growth Horm IGF Res* 2000; 1(Suppl B): S39-S43.
22. Fang CH, Li BG, Wang JJ, Fischer JE, Hasselgren PO. Treatment of burned rats with insulin-like growth factor I inhibits the catabolic response in skeletal muscle. *Am J Physiol* 1998; 275(4 Pt 2): R1091-R1098.
23. Fukushima R, Saito H, Inoue T, Fukatsu K, Inaba T, Han I, et al. Prophylactic treatment with growth hormone and insulin-like growth factor I improve systemic bacterial clearance and survival in a murine model of burn-induced gut-derived sepsis. *Burns* 1999; 25(5): 425-30.
24. Kraemer WJ, Ratamess NA. Hormonal responses and adaptations to resistance exercise and training. *Sports Med* 2005; 35(4): 339-61.
25. Stokes K. Growth hormone responses to submaximal and sprint exercise. *Growth Horm IGF Res* 2003; 13(5): 225-38.
26. Gharakhanlou R, Saremi A, Omidfar K, Sharghi S, Gherati MR. The effect of resistance training on myostatin, GASP1, IGF1 and

- IGFBP3 serum Levels in young man. Journal of Movement Science and Sports 2009; 7(13): 67-80. [In Persian].
- 27.** Ben OO, Elloumi M, Zouhal H, Makni E, Denguezli M, Amri M, et al. Effect of individualized exercise training combined with diet restriction on inflammatory markers and IGF-1/IGFBP-3 in obese children. Ann Nutr Metab 2010; 56(4): 260-6.
- 28.** Sadeghi-Boroujerdi S, Rahimi R. GH and IGF-1 hormone response to the fierce resistance of two different volume resting between sets. Olympic 2009; 17(1): 57-68. [In Persian].
- 29.** Rajabi H, Razmjo S, Jannati M, Zarifi I. Response relationship of insulin-like growth factor and creatine kinase after a six-week session, and resistance training pyramid and reverse pyramid of athletic girls. Olympic 2010; 18(2): 29-42. [In Persian].
- 30.** Marandi M, Mohebi H, Gharakhanlo R, Naderi Gh. Reactions IGFBPs, IGF1, GH and testosterone in a strenuous physical activity sessions. Olympic 2004; 12(4): 7-15. [In Persian].
- 31.** Alloju SM, Herndon DN, McEntire SJ, Suman OE. Assessment of muscle function in severely burned children. Burns 2008; 34(4): 452-9.
- 32.** Melchert-McKernan K, Deitz J, Engel JM, White O. Children with burn injuries: purposeful activity versus rote exercise. Am J Occup Ther 2000; 54(4): 381-90.
- 33.** Farahani H, Abedi A, Aghamohammadi S, Kazemi S. Single subject researches methodology in behavioral sciences and medicine (approach-applied). Tehran, Iran: Danjeh Publication; 2010. [In Persian].

The Effect of Eight Months of Resistive Training on Growth hormone, Insulin-Like Growth Factor1 and Insulin-like Growth Factor Binding Protein3 Plasma Levels in Patients with Severe Burns

Nasim Behzadnezhad MSc¹, Sayyed Mohammad Marandi PhD², Fahimeh Esfarjani PhD³, Ahmad Abedi PhD⁴, Fereshteh Bardia MSc¹

Original Article

Abstract

Background: The aim of this study was to investigate the effect of eight months of resistive training on growth hormone (GH), insulin-like growth factor1 (IGF1), and insulin-like growth factor binding protein3 (IGFBP3) plasma levels in patients with severe burns.

Methods: The research method used in this study was of the individual-case type with multiple base lines for the participants. The examinees of this study included two women with severe burns (third degree) in the age range of 20 to 30 years confined in the Central Accidents and Burns Hospital, Isfahan, Iran. After determining the base-line position, the participants were entered into the project in a ladder step-by-step format. During the 8 months of individual intervention, they did the resistive training and one month after the finishing of the intervention period, they were put under follow-up examinations for 2 months. The measuring tool for this study was the blood tests taken for measuring GH, IGF1, and IGFBP3 plasma levels, which were taken at the fasting morning time and 24 hours after the exercises at the end of each month.

Findings: Based on the visual analysis and descriptive statistical indexes, the resistive training in both examinees had caused a significant change in the GH, IGF1 and IGFBP3 plasma levels; as the percentage of non-overlapping data (PND) was 75% for the first and 87.5% for the second examinee in GH level, and 100% for both examinees in IGF1 and IGFBP3 levels.

Conclusion: It seems that long-term resistive training can cause elevation of the plasma level of some growth factors in patients with severe burns or it can prevent the reverse process and intense decline in these factors after the burn takes place. In addition, it would make these patients become free of the need for frequent surgeries and using different equipments.

Keywords: Burn, Growth hormone (GH), Insulin-like growth factor1 (IGF1), Insulin-like growth factor binding protein3 (IGFBP3), Resistive exercise, Single subject research

Citation: Behzadnezhad N, MarandI SM, Esfarjani F, AbedI A, Bardia F. **The Effect of Eight Months of Resistive Training on Growth hormone, Insulin-Like Growth Factor1 and Insulin-like Growth Factor Binding Protein3 Plasma Levels in Patients with Severe Burns.** J Isfahan Med Sch 2014; 32(279): 388-407

1- Department of Exercise Physiology, School of Physical Education and Sport Science, University of Isfahan, Isfahan, Iran
2- Associate Professor, Department of Exercise Physiology, School of Physical Education and Sport Science, University of Isfahan, Isfahan, Iran

3- Assistant Professor, Department of Exercise Physiology, School of Physical Education and Sport Science, University of Isfahan, Isfahan, Iran

4- Assistant Professor, Department of Psychology of Exceptional Children, School of Education Sciences and Psychology, University of Isfahan, Isfahan, Iran

Corresponding Author: Nasim Behzadnezhad MSc, Email: nasrin_behzadnezhad@yahoo.com